

《高等量子力学》第 15 讲

4. 变分法 (非微扰方法)

求解 $\hat{H}|n\rangle = E_n|n\rangle$ 的基态。对于任意态

$$|\psi\rangle = \sum_n c_n |n\rangle,$$

能量平均值

$$\langle E \rangle = \langle \psi | \hat{H} | \psi \rangle = \sum_{n,m} c_m^* c_n \langle m | \hat{H} | n \rangle = \sum_{n,m} c_m^* c_n E_n \delta_{mn} = \sum_n |c_n|^2 E_n \geq E_0。$$

变分方法思想：取不同的态 $|\psi\rangle$ ，计算 $\langle E \rangle = \langle \psi | \hat{H} | \psi \rangle$ ，其中最小的 $\langle E \rangle$ 最接近 E_0 ，可近似看成基态能 E_0 。

方法：由体系的物理性质猜测含参量 λ 的尝试波函数 $|\psi(\lambda)\rangle$ ，计算

$$\langle E \rangle(\lambda) = \langle \psi(\lambda) | \hat{H} | \psi(\lambda) \rangle,$$

由能量最小值条件

$$\frac{d\langle E \rangle(\lambda)}{d\lambda} = 0, \quad \frac{d^2\langle E \rangle(\lambda)}{d\lambda^2} > 0 \rightarrow \lambda_0, \quad \text{能量最小值 } \langle E \rangle(\lambda_0) = E_0。$$

例：氦原子。

$$\hat{H} = \left(-\frac{\hbar^2}{2\mu} \nabla_1^2 - \frac{2e^2}{r_1} \right) + \left(-\frac{\hbar^2}{2\mu} \nabla_2^2 - \frac{2e^2}{r_2} \right) + \frac{e^2}{|\vec{r}_1 - \vec{r}_2|} = \hat{H}^{(0)} + \frac{e^2}{|\vec{r}_1 - \vec{r}_2|}$$

对于 $\hat{H}^{(0)}$ ，基态能量 $E_0^{(0)} = -4 \frac{e^2}{a_0}$

$$\text{基态 } \psi_0(\vec{r}_1, \vec{r}_2) = \psi_{100}(\vec{r}_1) \psi_{100}(\vec{r}_2), \quad \psi_{100}(\vec{r}) = \frac{1}{\sqrt{\pi}} \left(\frac{2}{a_0} \right)^{3/2} e^{-\frac{2}{a_0} r}。$$

对于 \hat{H} ，考虑两电子间相互作用后，两电子之间的屏蔽使得电子感受到的原子核有效核电荷 $z < 2$ ，故取 Z 为参数，尝试波函数为

$$\psi_0(\vec{r}_1, \vec{r}_2, z) = \psi_{100}(\vec{r}_1, z) \psi_{100}(\vec{r}_2, z), \quad \psi_{100}(\vec{r}, z) = \frac{1}{\sqrt{\pi}} \left(\frac{z}{a_0} \right)^{3/2} e^{-\frac{z}{a_0} r}$$

$$\langle E \rangle(z) = \int \psi_0^*(\vec{r}_1, \vec{r}_2, z) \hat{H} \psi_0(\vec{r}_1, \vec{r}_2, z) d^3\vec{r}_1 d^3\vec{r}_2 = \left(-2z^2 + \frac{27}{4}z \right) \frac{-e^2}{2a},$$

由
$$\frac{d\langle E \rangle(z)}{dz} = 0, \quad \frac{d^2\langle E \rangle(z)}{dz^2} > 0$$

得
$$z_0 = \frac{27}{16} < 2,$$

基态能
$$E_0 \approx \langle E \rangle(z_0) = -2.85 \frac{e^2}{a_0},$$

与 E_0 对应的基态波函数为 $\psi_0(\vec{r}_1, \vec{r}_2, z_0)$ 。

也可用微扰论的方法来求解基态能量修正：

$$\hat{H}^{(1)} = \frac{e^2}{|\vec{r}_1 - \vec{r}_2|},$$

基态不简并，用非简并微扰论，得

$$E_0^{(1)} = \int d^3\vec{r}_1 d^3\vec{r}_2 \psi_0^*(\vec{r}_1, \vec{r}_2) \frac{e^2}{|\vec{r}_1 - \vec{r}_2|} \psi_0(\vec{r}_1, \vec{r}_2) = \frac{5}{4} \frac{e^2}{a_0},$$

$$E_0 = E_0^{(0)} + E_0^{(1)} = -4 \frac{e^2}{a_0} + \frac{5}{4} \frac{e^2}{a_0} = -2.75 \frac{e^2}{a_0}.$$

基态能实验值为 $-2.904 \frac{e^2}{a_0}$ 。可见，变分的结果更接近实验值。

5. 强耦合 *Schrodinger* 方程 (1/N 展开微扰方法)

1999 年，李政道等提出了一种求解强耦合 *Schrodinger* 方程的方法，以下用 *Yukawa* 势为例来简单介绍。

Yukawa 势
$$V(r) = -g^2 \frac{e^{-\alpha r}}{r},$$

耦合常数 $g > 1$ ，说明是强耦合。 当参数 $\alpha \rightarrow 0$ 时变为 *Coulomb* 势。

能量本征方程

$$\left(-\frac{\hbar^2}{2\mu}\bar{\nabla}^2 + V(r)\right)\psi(r) = E\psi(r)$$

无严格解析解。令 $\hbar=1$ (自然单位制), 以简化计算过程。

考虑基态波函数, 与角度无关 ($l=0$), 令

$$\psi(r) = e^{-S(r)},$$

将本征值 E 和本征态即 $S(r)$ 用 $1/g^2$ 来展开:

$$E = g^4 E_0 + g^2 E_1 + E_2 + \dots,$$

$$S = g^2 S_0 + S_1 + g^{-2} S_2 + \dots$$

E 和 $S(r)$ 展开初始项不同的目的是使得 V 不出现在 E_0 与 S_0 的方程中。代入定态

Schrodinger 方程, 并比较 g 的相同幂次, 得到

$$\text{零级方程 } (g^4): \quad (\bar{\nabla} S_0)^2 = -2mE_0$$

$$\text{一级方程 } (g^2): \quad \bar{\nabla} S_0 \bullet \bar{\nabla} S_1 = \frac{1}{2} \bar{\nabla}^2 S_0 - m \left(\frac{e^{-\alpha r}}{r} + E_1 \right)$$

$$\text{二级方程 } (g^0): \quad \bar{\nabla} S_0 \bullet \bar{\nabla} S_2 = -\frac{1}{2} (\bar{\nabla} S_1)^2 + \frac{1}{2} \bar{\nabla}^2 S_1 - mE_2$$

.....

$$\text{零级方程的解} \quad S_0(r) = \sqrt{-2mE_0} r,$$

开方只取正号是考虑了 $\psi(r \rightarrow \infty)$ 有限的约束条件。将 $S_0(r)$ 代入一级方程

$$\sqrt{-2mE_0} \frac{dS_1}{dr} = \frac{1}{r} (\sqrt{-2mE_0} - me^{-\alpha r}) - mE_1,$$

要求 ψ 及其一级导数连续, 即 S_i 及其一级导数连续, $\frac{dS_1}{dr}$ 在 $r=0$ 处非奇异, 有

$$\lim_{r \rightarrow 0} \frac{\sqrt{-2mE_0} - me^{-\alpha r}}{r} \text{ 有限,}$$

$$\text{故} \quad E_0 = -m/2, \quad S_0(r) = mr, \quad S_1(r) = \int_0^r dr' \left[\frac{1}{r'} (1 - e^{-\alpha r'}) - E_1 \right].$$

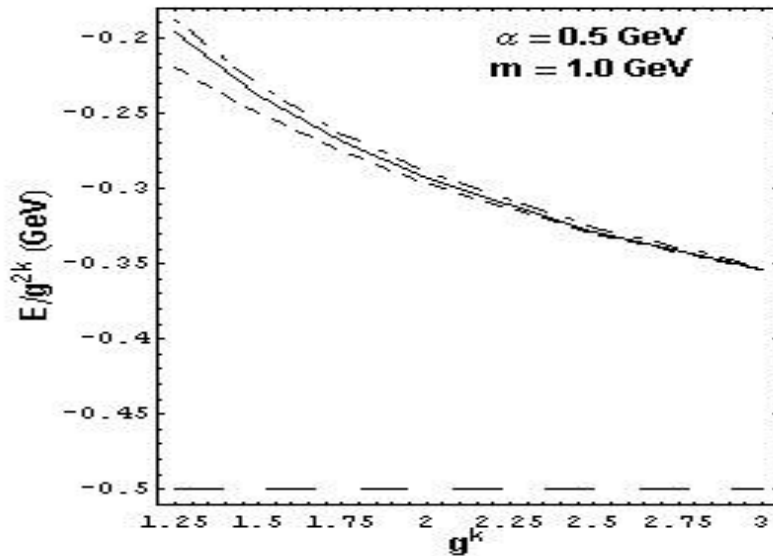
代入二级方程，要求 $\frac{dS_2}{dr}$ 在 $r=0$ 处非奇异，有

$$E_1 = \alpha。$$

如此逐级求解，基态能

$$E = -\frac{m}{2}g^4 + \alpha g^2 - \frac{3\alpha^2}{4m} + \frac{\alpha^2}{2m^2}g^{-2} + \dots。$$

与数值方法精确求解 Yukawa 势得到的基态能量作比较，如图。可以看到精确到 g^4 （长虚线）， g^0 （短虚线）和 g^{-2} （点划线）的解析解是如何逐渐逼近数值解（实线）的。当 g 较大，即相互作用很强时，近似解析结果与精确求解的结果趋于一致，这表明上述近似方法适用于求解强耦合 *Schroedinger* 方程。注意，图中的横坐标是 g^k 而纵坐标是 E/g^{2k} ，故计算结果并不依赖于 k 的取值。



若取 $\alpha=0$ ，汤川势退化为库仑势，此时基态

$$\begin{cases} E = -\frac{m}{2}g^4 \\ \psi(r) = e^{-g^2 S_0(r)} = e^{-mg^2 r} \end{cases}$$

与氢原子问题的基态严格解完全相同。

6. 含时微扰论

Schroedinger 方程为

$$i\hbar \frac{\partial}{\partial t} |\psi(t)\rangle = \hat{H}(t) |\psi(t)\rangle,$$

假设 $\hat{H}(t)$ 可写成:

$$\hat{H}(t) = \hat{H}^{(0)} + \hat{H}^{(1)}(t), \quad t > t_0,$$

$$\hat{H}^{(0)} |m\rangle = E_m |m\rangle.$$

问题: 系统在 $t \leq t_0$ 时 $\hat{H} = \hat{H}^{(0)}$ 不含时, 处于定态 $|n\rangle$ 。当 $t > t_0$ 时, $\hat{H}(t)$ 含时, 系统处于态 $|\psi(t)\rangle$, 不再处于定态 $|n\rangle$, 由 $\hat{H}^{(0)}$ 的完备性条件,

$$|\psi(t)\rangle = \sum_m a_m(t) |m\rangle e^{-\frac{i}{\hbar} E_m t},$$

处于定态 $|m\rangle$ 的几率为 $|a_m(t)|^2$ 。对于含时微扰问题, 就是要求在宏观时间后 ($t \rightarrow \infty$) 系统从一个初始定态 $|n\rangle$ 跃迁到另一个定态 $|m\rangle$ 的跃迁几率:

$$\lim_{t \rightarrow \infty} W_{n \rightarrow m}(t) = \lim_{t \rightarrow \infty} |a_m(t)|^2.$$

1) 跃迁方程

将 $|\psi(t)\rangle$ 的展开式代入 Schroedinger 方程:

$$i\hbar \sum_m \dot{a}_m |m\rangle e^{-\frac{i}{\hbar} E_m t} + \sum_m a_m E_m |m\rangle e^{-\frac{i}{\hbar} E_m t} = \sum_m a_m \hat{H}^{(0)} |m\rangle e^{-\frac{i}{\hbar} E_m t} + \sum_m a_m \hat{H}^{(1)}(t) |m\rangle e^{-\frac{i}{\hbar} E_m t}$$

左边第二项与右边第一项消去得:

$$i\hbar \sum_m \dot{a}_m |m\rangle e^{-\frac{i}{\hbar} E_m t} = \sum_m a_m \hat{H}^{(1)}(t) |m\rangle e^{-\frac{i}{\hbar} E_m t}$$

左乘 $\langle k|$, 得

$$i\hbar\dot{a}_k e^{-\frac{i}{\hbar}E_k t} = \sum_m a_m H_{km}^{(1)}(t) e^{-\frac{i}{\hbar}E_m t}, \quad H_{km}^{(1)}(t) = \langle k | \hat{H}^{(1)}(t) | m \rangle.$$

$$\begin{cases} i\hbar\dot{a}_k = \sum_m a_m H_{km}^{(1)}(t) e^{i\omega_{km}t}, & \omega_{km} = \frac{E_k - E_m}{\hbar} \\ a_k(0) = \delta_{kn} \end{cases}.$$

2) 微扰求解

$$\text{令 } a_k(t) = a_k^{(0)}(t) + a_k^{(1)}(t) + \dots,$$

代入跃迁方程，得：

$$i\hbar(\dot{a}_k^{(0)}(t) + \dot{a}_k^{(1)}(t) + \dots) = \sum_m (a_m^{(0)}(t) + a_m^{(1)}(t) + \dots) H_{km}^{(1)}(t) e^{i\omega_{km}t}$$

零级方程为

$$i\hbar\dot{a}_k^{(0)}(t) = 0, \quad a_k^{(0)}(0) = \delta_{kn}, \quad a_k^{(0)}(t) = \delta_{kn}.$$

一级方程为

$$i\hbar\dot{a}_k^{(1)}(t) = \sum_m a_m^{(0)}(t) H_{km}^{(1)}(t) e^{i\omega_{km}t} = H_{kn}^{(1)}(t) e^{i\omega_{kn}t},$$

$$\text{解得 } a_k^{(1)}(t) = \frac{1}{i\hbar} \int_0^t H_{kn}^{(1)}(t') e^{i\omega_{kn}t'} dt',$$

那么由 $|n\rangle$ 跃迁到 $|k\rangle$ ($k \neq n$) 的几率幅为 $a_k(t) = a_k^{(1)}(t)$,

则跃迁几率为 $W_{n \rightarrow k}(t) = |a_k^{(1)}(t)|^2$ 。

3) 周期性微扰

$$\hat{H}^{(1)}(t) = \hat{A} \cos \omega t = \hat{F} (e^{i\omega t} + e^{-i\omega t}),$$

其中 \hat{A} , \hat{F} 与 t 无关。一级跃迁振幅为

$$a_m^{(1)}(t) = \frac{1}{i\hbar} \int_0^t H_{mn}^{(1)}(t') e^{i\omega_{mn}t'} dt' = \frac{F_{mn}}{i\hbar} \int_0^t (e^{i(\omega_{mn} + \omega)t'} + e^{i(\omega_{mn} - \omega)t'}) dt'$$

其中 ω_{mn} 为跃迁频率， ω 为外场频率。积分得：

$$a_m^{(1)}(t) = \frac{F_{mn}}{\hbar} \left(\frac{e^{i(\omega_{mn}+\omega)t} - 1}{\omega_{mn} + \omega} + \frac{e^{i(\omega_{mn}-\omega)t} - 1}{\omega_{mn} - \omega} \right).$$

当 $\omega \neq \pm\omega_{mn}$ 时， $a_m^{(1)}(t)$ 是 t 的震荡函数，不随时间 t 单调增长，跃迁几率不大。

但当 $\omega \rightarrow \pm\omega_{mn}$ 时，

$$a_m^{(1)}(t) = \frac{F_{mn}}{\hbar} \frac{e^{i(\omega_{mn} \mp \omega)t} - 1}{\omega_{mn} \mp \omega},$$

跃迁几率为
$$W_{n \rightarrow m}(t) = |a_m^{(1)}(t)|^2 = \frac{4|F_{mn}|^2}{\hbar^2} \frac{\sin^2\left(\frac{(\omega_{mn} \mp \omega)t}{2}\right)}{(\omega_{mn} \mp \omega)^2},$$

因为
$$\lim_{t \rightarrow \infty} \frac{\sin^2 xt}{\pi t x^2} = \delta(x),$$

所以
$$\lim_{t \rightarrow \infty} W_{n \rightarrow m}(t) = \frac{2\pi t |F_{mn}|^2}{\hbar^2} \delta(\omega_{mn} \mp \omega) = \frac{2\pi t |F_{mn}|^2}{\hbar} \delta(E_m - E_n \mp \hbar\omega)$$

随着 t 线性增长。其中， δ 函数意味着能量守恒，如下图所示：



跃迁速率为
$$\frac{dW_{n \rightarrow m}(t)}{dt} = \frac{2\pi}{\hbar^2} |F_{mn}|^2 \delta(\omega_{mn} \mp \omega).$$

实际微扰不是严格的单色场，而是有一个频率范围 $\Delta\omega$ ，故总的跃迁速率为：

$$\frac{dW_{n \rightarrow m}(t)}{dt} = \frac{2\pi}{\hbar^2} |F_{mn}|^2 \int_{\Delta\omega} \delta(\omega_{mn} \mp \omega) d\omega = \begin{cases} \frac{2\pi}{\hbar^2} |F_{mn}|^2 & \text{若 } \Delta\omega \text{ 包含 } |\omega_{mn}| \\ 0 & \text{若 } \Delta\omega \text{ 不包含 } |\omega_{mn}| \end{cases}$$

例： $t = 0$ 时氢原子处于基态 $|100\rangle$ ，微扰 $\hat{H}^{(1)}(t) = -e\hat{z}\varepsilon_0\delta(t)$ ，求跃迁到所有激发态的几率。

$$a_m^{(1)}(t) = \frac{1}{i\hbar} \int_0^t H_{mn}^{(1)}(t') e^{i\omega_{mn}t'} dt' = -\frac{e\mathcal{E}_0 z_{mn}}{i\hbar} \int_0^t e^{i\omega_{mn}t'} \delta(t') dt' = -\frac{e\mathcal{E}_0 z_{mn}}{i\hbar}$$

$|n\rangle = |100\rangle$ 为基态, $|m\rangle = |nlm\rangle (n \neq 1)$ 为激发态。跃迁到所有激发态的几率为:

$$W = \sum'_{nlm} \left(\frac{e\mathcal{E}_0}{\hbar} \right)^2 |\langle nlm | \hat{z} | 100 \rangle|^2,$$

其中 Σ' 表示求和不含基态。

考虑坐标表象的矩阵元

$$\begin{aligned} \langle nlm | \hat{z} | n'l'm' \rangle &= \int d\bar{x} d\bar{x}' \langle nlm | \bar{x} \rangle \langle \bar{x} | \hat{z} | \bar{x}' \rangle \langle \bar{x}' | n'l'm' \rangle \\ &= \int r^2 dr R_n^*(r) r R_{n'}(r) \int d\Omega Y_{lm}^*(\theta, \varphi) \cos \theta Y_{l'm'}(\theta, \varphi) \end{aligned}$$

因为 $\cos \theta Y_{lm}(\theta, \varphi) = A Y_{l+1,m}(\theta, \varphi) + B Y_{l-1,m}(\theta, \varphi)$,

矩阵元不为零的条件 (即发生跃迁的选择定则) 为

$$\Delta l = l - l' = \pm 1,$$

导致 $\langle 100 | z | 100 \rangle = 0$ 。跃迁几率计算中的求和 Σ' 可以写为 Σ , 即

$$\begin{aligned} W &= \sum_{nlm} \left(\frac{e\mathcal{E}_0}{\hbar} \right)^2 |\langle nlm | \hat{z} | 100 \rangle|^2 \\ &= \left(\frac{e\mathcal{E}_0}{\hbar} \right)^2 \sum_{nlm} \langle 100 | \hat{z} | nlm \rangle \langle nlm | \hat{z} | 100 \rangle \\ &= \left(\frac{e\mathcal{E}_0}{\hbar} \right)^2 \langle 100 | \hat{z}^2 | 100 \rangle \end{aligned}$$

因为 $\langle 100 | z^2 | 100 \rangle = a_0^2$,

其中 a_0 为 Bohr 半径, 所以

$$W = \left(\frac{e\mathcal{E}_0 a_0}{\hbar} \right)^2,$$

氢原子仍处在基态的几率为 $1 - W = 1 - \left(\frac{e\mathcal{E}_0 a_0}{\hbar} \right)^2$ 。